Տեխարկական գիտութ, սեբիա

X, No 2, 1957

Сория технических наук

**ГИДРОТЕХНИКА** 

#### Л. А. ЧИЛИНГАРЯН

# К ВОПРОСУ РАЗБИВКИ ГОРНЫХ ВОДОТОКОВ НА СТУПЕНИ КАСКАДА ДЕРИВАЦИОННЫХ ГЭС

Для составления схемы энергетического использования водотока рассматривают варианты разбивки его на отдельные ступени, исходя при этом из гидрологических, топографических, геологических и прочих условий.

Оптимальный вариант разбивки падения реки на ступени устанавливается в результате энерго-экономического анализа, в котором энергетические расчеты являются необходимым звеном всего расчета. Поэтому для полной оценки энергетических возможностей реки в анализе вариантов должны быть рассмотрены и энергетически целесообразные схемы разбивки, при которых обеспечивается максимальный энергетический эффект (выработка энергии, мощность).

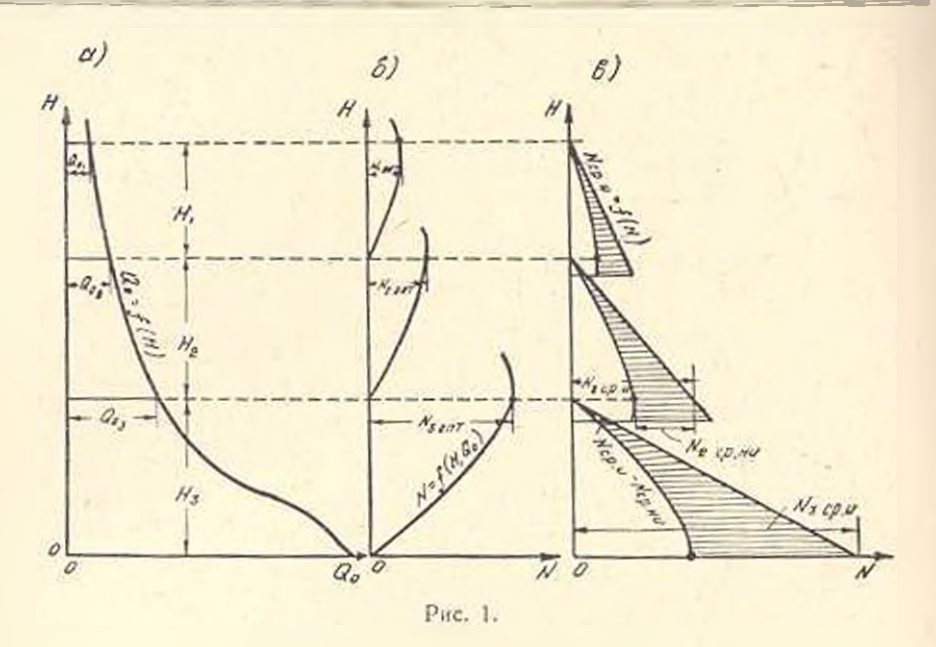
Методы составления таких схем даны в работах Сейфуллы Д. О. [3] и Семенова В. В. [4], которые в сущности одинаковы. Они предназначены для выбора напорной схемы каскада деривационных ГЭС, с учетом энергетического эффекта.

По методу Сейфуллы Д. О. по имеющейся напорной характеристике (кривой роста среднегодовых расходов реки  $Q_o$  по мере роста ее падения H) (рис. 1a), строится мощностная характеристика  $N=f\left(Q_o,H\right)$  с одновременной разбивкой реки на ступени каскада ГЭС (рис. 16). С удалением водозабора деривации от конца рассматриваемого участка вверх по течению используемый напор будет возрастать, а расход уменьшаться. В соответствии с этим, мощность будет либо непрерывно возрастать, при относительно малом уменьшении захватываемого деривацией расхода, либо, позрастая достигнет максимума и затем снова начнет уменьшаться с увеличением напора H, за счет значительного уменьшения  $Q_o$ . Точка, соответствующая максимуму N определит первую (снизу) ступень каскада. Таким же образом могут быть найдены следующие ступени каскада.

Для возможности учета вопросов водно-энергетического регулирования, Семенов В. В. предлагает разбивку вести сверху вниз. соблюдая на каждой ступени условие:

$$N_{\rm cp. \, H.} - N_{\rm cp. \, HH.} = {\rm макс.}$$

где  $N_{cp. \, H.}$  и  $N_{cp. \, HH.}$  — соответственно средняя используемая и неисполь-



зуемая мощности на участке деривационной ступени— причем, под последней понимается мощность, соответствующая местной приточности между водозабором и силовым узлом ГЭС.

Необходимо отметить, что в случае, когда створ водозабора верхней установки в обоих методах взяты одинаковыми, то результаты разбивки водотока на ступени, при отсутствии регулирования, у Сейфуллы и Семенова совпадают, что и указано в [4].

При такой разбивке суммарная мощность всех установок на данном участке для получаемого числа ступеней не будет максимальной, так как напоры их оптимальны только при рассмотрении эффективности установок в отдельности. Между тем необходимо учесть общий энергетический эффект рассматриваемого каскада ГЭС в целом. Такая попытка сделана в настоящей работе.

В статье предлагается метод составления оптимальной, с энергетической точки эрения, схемы энергоиспользования малой горной реки между значительными ее притоками применительно к каскадам деривационных незарегулированных ГЭС. Дается также способ дальнейшего энерго-экономического анализа для выбора оптимального варианта из числа энергетически целесообразных схем.

Энергетически оптимальной схемой считается схема с максимальным энергетическим эффектом, под которым понимается суммарная головая выработка энергии (или среднегодовая мощность) каскада ГЭС в среднем по водности году.

Таким образом, поставленной основной задачей является определение соотношения напоров ступскей (напорную схему), соответствующего энергетически оптимальной схеме при определенном числе ступеней.

В работе принимается допущение, что обеспеченность расчетного расхода для любых створов участка реки известна, т. е., что задан расчетный расход для каждого створа. Принимается также, что к. п. д. ГЭС ( $\tau_{tr}$ ) каскада равны между собою и не зависят от напора.

Необходимым условием решения поставлениюй задачи и основой гидрознергетического анализа, при составлении напорной схемы, принимается напорная характеристика реки. Последняя здесь представляет из себя коивую роста средних используемых расходой  $Q_{c,n}$  по мере падения H водотока  $Q_{c,n} = f(H)$ , в отличие от кривой роста среднемноголетиих расходов принятой и работах [3] и [4].

Определия понятие напорной характеристики, заметим, что энергия, которую можно было получить за счет местной приточности на участке реки в пределах деривации той или иной ГЭС — не используется. Поэтому возникает вопрос о таком размещении заданного числа ступеней, которое позволило бы максимально уменьшить теряемую энергию местной приточности. Следует отметить, что указанное неполное использование энергия местной приточности имеет место только в случае деривационных ГЭС.

Если иметь кривую обеспеченности расходов P(Q) для любых створов участка реки, то для этих створов  $Q_{c,n}$  можно подсчитывать по формуле:

$$Q_{c, n} := \frac{1}{100} \int_{\mathcal{S}}^{Q} P(Q) dQ \tag{1}$$

где  $Q_p$  — расчетный расход заданной обеспеченности.

Нарастание расхода  $Q_c$  на малых горных реках между ее значительными притоками происходит плавно или со сравнительно малымы скачками. Его можно выразить при помощи многочлена вида

$$Q = Q_0 + \alpha_1 H + \alpha_2 H + \dots + \alpha_n \cdot H^n.$$
 (2)

или параболической кривой

$$Q = Q + *H \tag{3}$$

Здесь Q<sub>и</sub> — средний используемый расход в начале рассматриваемого участка,

Q—то же, в точке с падением H, считая от начала (в дальнейшем индекс к  $Q_{\text{с.н.}}$  опускается),

« и т — постоянные коэффициенты.

Зависимостью (2) можно выразить действительную кривую напорной характеристики с большей точностью, чем по (3), однако последняя более удобна для математического анализа, а гочность ее практически достаточна, что подтверждается нашими подсчетами, проведенными применительно к малым рекам АрмССР.

Например, для реки Гарпи (приток р. Памбак) на одном участке (ГЭС III—VII по данным [5, г. V]) напорную характеристику, при

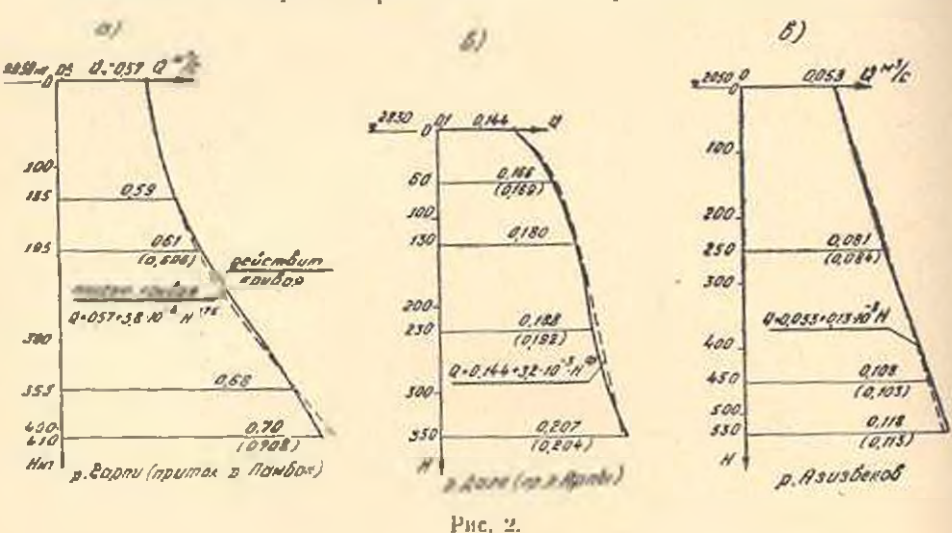
шестимесячной обеспеченности расчетного расхода, можно с достаточной точностью выразить формулой (рис. 2a):

$$Q = 0.57 + 3.8 \cdot 10^{-6} \cdot H^{1.75} M^3/c$$
.

Для р. Дали (приток р. Арпы) [5, т. XII] на некотором участке (рис. 26)

$$Q = 0.144 + 3.2 \cdot 10^{-3} \cdot H^{0.5} \, \mu^3/c.$$

Многие малые реки Армении имеют прямолинейную напорную



характеристику. Например. р. Азизбеков [5, т. XII] на некотором участке (рис. 2в):

$$Q = 0.053 + 0.13 \cdot 10^{-3} \cdot H \cdot w^3/c$$

р. Акстафа [5, т. VII]

$$Q = 0.42 + 5.7 \cdot 10^{-1} \cdot H \text{ M}^3/c. \text{ H T. } \text{ g.}$$

Параметры ф-лы (3) определяются методом наименьших квадратов или подбором постоянных коэффициентов.

Если участок реки используется в одной ступени, то напор ес $H_1 = H_{y\alpha}$  и расход  $Q_1 = Q_{\alpha}$ . Здесь  $H_{y\alpha}$  — падение на данном участке При двух ступенях использования условия задачи следующие:

$$H_1 + H_2 = H_{yq},$$

$$Q_1 = Q_R$$

$$Q_2 = Q_1 + \alpha H_1^T$$
(4)

Условие максимума выработки энергии на двух ГЭС каскада будет

$$\partial_{\text{ros}} = a_t \left( H_1 Q_1 + H_2 Q_2 \right) = \text{Makc.} \tag{5}$$

Здесь  $a_r = 9.81$  8760.

Поскольку коэффициент  $a_r$  — постоянный, то условие получения максимума выработки энергии на участке сводится к простой матема

тической задаче отыскания максимума двухступенчатой площади, вписанной в кривую напорной характеристики рассматриваемого участка и определяемой суммой  $H_1$   $Q_1+H_2$   $Q_2$  (заштрихованная площадь на фиг. 3a). Подставляя в (5) значения  $H_2$  и  $Q_2$  из (4), дифференцируя  $\mathcal{F}_{tot}$  по  $H_1$  и приравняв нулю имеем:

$$\alpha H_1^{\gamma-1} [\gamma \cdot H_{\gamma u} - (\gamma + 1) H_1] = 0,$$

отсюла:

$$H_1 = \frac{1}{1+1} H_{YL} \tag{6}$$

$$H_2 = \frac{1}{\gamma + 1} \cdot H_{\gamma \gamma} \tag{6'}$$

Из (6) и (6') видно, что оптимальное отношение напоров не зависит от расхода в начале участка  $Q_{\rm c}$  и от коэффициента  $\alpha$ , а зависит только от показателя степени  $\gamma$ . Замечаем также, что при значениях  $\gamma > 1.0$ ,  $\tau$ . е. при вогнутости кривой напорной характеристики,  $H_1 > 0.5$ .  $H_{\rm yq}$  и наоборот, при  $\gamma < 1.0$ ,  $\tau$ . е. при выпуклости кривой  $H_1 > 0.5 \cdot H_{\rm yq}$ .

В таблице 1 приведены оптимальные отношения  $\frac{H_1}{H_2}$  и  $\frac{H_2}{H_3}$  и  $\frac{H_3}{H_4}$  и  $\frac{H_4}{H_4}$  и

Таблица 1

7	0,5	0.75	1,0	1,25	1,5	1,75	2,0	2,25	2,5
$\frac{H_1}{H_{yq}}$	0,333	0,43	0,5	0,555	0,6	0,636	0,667	0,693	0,714
$H_{y4}$	0,667	0,57	0,5	0,445	0.4	0,364	0,333	0,307	0,286

В случае разбивки на три ступени, условиями задачи будут (рис. 36),

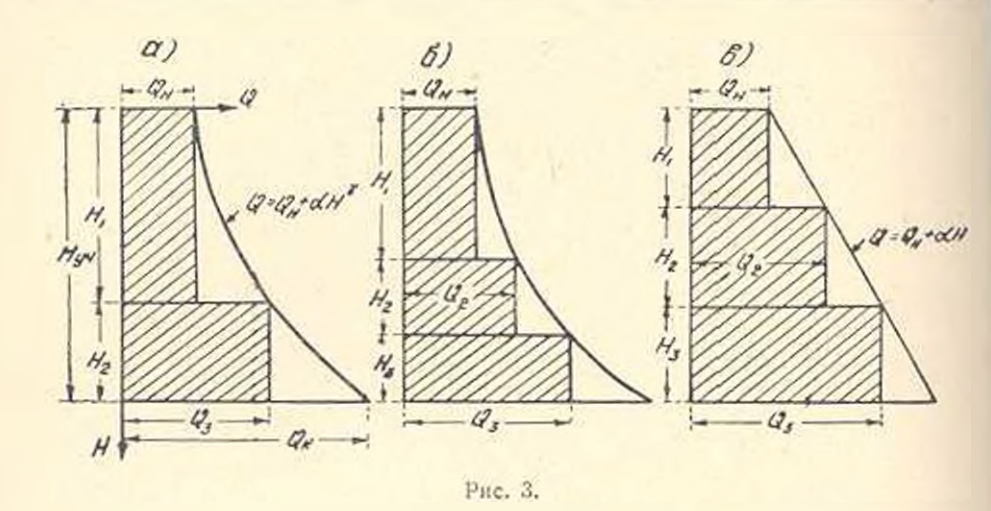
$$H_1 + H_2 + H_3 = H_{yq}$$
,  
 $Q_1 = Q_4$ ;  $Q_3 = Q_1 + \alpha H_1$   
 $Q_3 = Q_1 + \alpha (H_1 + H_2)^{\gamma}$  (7)

Условие максимума выработки энергии:

$$H_1 Q_1 + H_2 Q_2 + H_3 Q_3 = Makc.$$
 (8)

Подставляя в (8) значения  $Q_2$ ,  $Q_3$  и  $H_2$  из (7) и дифференцируя по  $H_1$  и  $H_2$ , из условия максимума находим:

$$H_{1} = \frac{\gamma \cdot c_{T}}{\sqrt{c} \left(\gamma \cdot c_{\gamma} + c_{\gamma} - 1\right)} \cdot H_{yq}$$
(9)



$$H_{2} = \frac{c_{1}}{\sqrt{c_{1}(\gamma \cdot c_{1} + c_{1} - 1)}} \cdot H_{yq}$$

$$H_{3} (7) \text{ же имеем } H_{3} = H_{yq} - H_{1} - H_{2};$$

Здесь нведено обозначение  $c = \begin{pmatrix} 1 + - \end{pmatrix}$ 

В таблице 2 приведены оптимальные отношения  $\frac{H_1}{H}$ .  $\frac{H_2}{H_3}$  для разных значения  $\gamma$ .

Таблица 2

γ	0,5	0.75	1,0	1,25	1,5	1,75	2,0	2,25	2,5	3,0
$\frac{H_1}{H_{Y^q}}$	0.13	0,265	0,333	0,393	0,44!	0,485	0,522	0,556	0,581	0,628
$\frac{H_2}{H_{Y^{ij}}}$	0,36	0,353	0,333	0,314	0.294	0,277	0,251	0,247	0,232	0,21
$H_{yq}$	0,46	0,382	0,333	0,293	0,268	0,238	0,217	0,197	0,187	0,162

Из таблицы видно, что относительный напор первой ступени тем больше, по сравнению с напорами второй и третьей ступеней, чем больше показатель степени  $\gamma$ , напоры второй и третьей ступеней, наоборот, уменьшаются с увеличением  $\gamma$ , причем  $\frac{H_3}{H_{y\pi}}$  в большей мере.

чем 
$$\frac{H_0}{H_{yq}}$$
.

В случае разбивки на четыре ступени аналогичное решение будет:

$$H_1 = \frac{1}{D_1 (\gamma + 1) - c_{\gamma}} \cdot H_{yq} \tag{10}$$

$$H_1 = \frac{1}{D_1 (\gamma + 1) - c_1} H_1 \tag{10'}$$

$$H_3 = \frac{(c_1 - 1)(\gamma + 1) - \gamma \cdot c_1}{1 + (\gamma + 1) - \gamma \cdot c_1} H_{-}$$
 (10")

$$H_4 = H_{y_1} - H_1 - H_2 - H_3.$$

Здесь введены обозначения:

$$c_1 = \left(1 + \frac{1}{\gamma}\right)^{\frac{1}{2}}; D_1 - 1 + \frac{1}{\gamma} + \frac{(c_1 - 1)(\gamma - 1)}{\gamma^2 \cdot c_1}$$

Ниже приведена таблица 3 оптимальных отношений

$$\frac{H_1}{H_{y^n}}$$
:  $\frac{H_2}{H_{y^n}}$ ;  $\frac{H_3}{H_y}$  - в  $\frac{H_4}{H_{y^n}}$  для

Таблина З

7	0,5	0.75	1,0	1,25	1,5	67,1	2,0
$H_1$ $H_{Y^1}$	0,076	0,158	0,25	0,342	0,427	0,502	0,57
$\frac{H_2}{H_{Y^2}}$	0,152	0,21	0,25	0,274	0,285	0,280	0,275
$\frac{H_3}{H_{23}}$	0,154	0,232	0,25	0,256	0.255	0,215	0,165
H <sub>4</sub>	0,578	0,40	0,25	0,128	0,033	0,003	0,0

рваных значений  $\gamma$ . Из таблицы видно, что оптимальные относительные напоры первой и четвертой ступеней при значениях  $\gamma \leqslant 0.5$  и  $\gamma > 1.5$  соответственно, сравнительно малы. Следовательно, при небольшом напоре на участке деление его на четыре ступени нецелесообразно.

Из таблиц 1, 2, 3 видно также, что при прямолинейной напорной жарактеристике ( $\gamma = 1,0$ ) при любом числе ступеней высота участка делигся на равные части (рис. 3в).

Аналогичным образом можно решить задачу и в случае разбивви участка на пять, плесть и большее число ступеней.

Полученные выше оптимальные отношения напоров ступеней соответствую: случаю полного использования падения на данном участке Интересно отметить, что отбросив некоторую верхиюю часть участка, можно получить при одном и том же числе ступеней больше внергии, чем при использовании всего падения на участке. Оптимальная высота отбрасываемой части зависит от характера и параметров 3. Известня ТН. № 2 напорной характеристики, а также от заданного числа ступеней кас-

При одной ступени с учетом отбрасываемой верхней части высотой *Н*. (рис. 4a) среднегодовая мощность ГЭС будет:

$$N_1 = 9.81 \, \eta_2 \, (H_{yy} - H_z) \, (Q_y + \alpha \, H_z^2).$$

Условие максимума мощности запишется в виде:

$$\frac{dN_{1}^{\prime}}{dH_{2}} = Q_{H} + H_{2}^{1} \cdot \alpha \cdot (1+\gamma) - H_{2}^{\gamma-1} \cdot \alpha \cdot \gamma \cdot H_{yq} = 0, \tag{11}$$

откуда:

$$H_{\lambda} = \sqrt{\frac{Q_{R}}{2 \cdot \gamma \cdot (H_{YN} - H_{\lambda}) - 2 \cdot H_{\lambda}}}$$
 (11)

В общем случае, *H*, можно определить из (11') методом последовательного приближения или из (11) — графозналитическим способом.

В частном случае при  $\gamma = 0.5$  из (11) получаем:

$$H_s = \frac{\alpha \cdot H_{ys}}{3 \alpha + 2 O_o}, \quad (11^o)$$

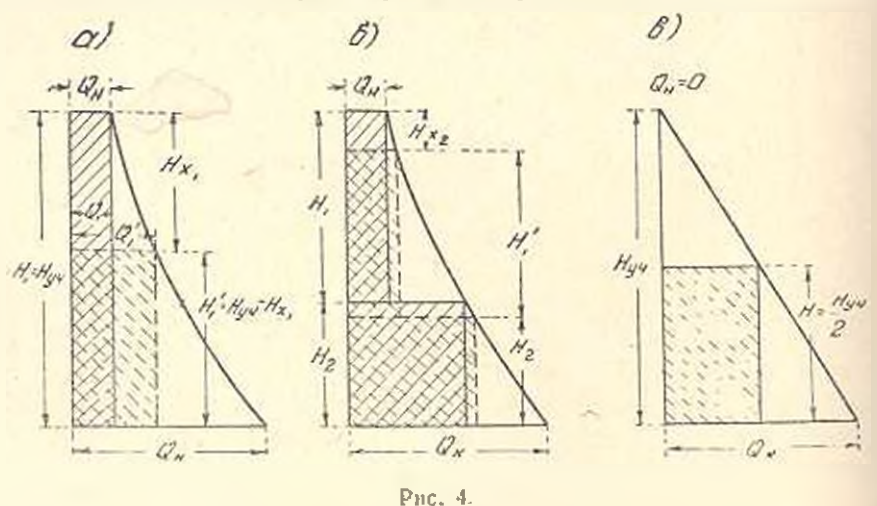
При  $\gamma = 1$ ;

$$H_{x} = \frac{\alpha H_{yu} - Q_{u}}{2 \pi} \tag{12}$$

 $\pi_{\mathrm{pit}} \ \gamma = 2$ 

$$H_{i} = \frac{2 \cdot \alpha \cdot H_{yq} \pm \sqrt{4 \cdot \alpha \cdot H_{yq}^{2} - 12 \cdot \alpha \cdot Q_{n}}}{6\alpha}$$
 (12')

В случае двух ступеней (рис. 46) при учете  $H_*$  меняются оптимальные отношения напоров ступеней определяемые по (6) и (6').



Только при прямолинейной напорной характеристике ( $\gamma=1.0$ ) падепие участка укороченное на  $H_x$  также делится на раяные части.

Сумывриая среднегодовая мощность двухступенчатого каскада с учетом  $H_{\mathbf{x}}$  будет:

$$\sum_{i} N_{i} = 9.81 \cdot \tau_{i} \{ H_{1} (Q_{H} + \alpha \cdot H_{1}^{2}) + (H_{yq} - H_{1} - H_{x}) [Q_{H} + \alpha (H_{1} + H_{x})^{2}] \}$$
(13)

Максимуму  $\sum_{i} N_{i}$  отвечают условия:

$$\frac{\partial \hat{\Sigma} N_s}{\partial \hat{H}_s} = \alpha - \gamma - H_1 H_s^{\gamma-1} - Q_n + \alpha (H_1 + H_s)^{\gamma-1} [\gamma \cdot H_{\gamma n} - (H_1 + H_n)(\gamma + 1)] = 0;$$
(13')

$$\frac{\partial \sum_{i}^{2} N_{i}}{\partial H_{1}} = \alpha H_{1}^{2} + \alpha (H_{1} + H_{x})^{\gamma - 1} [\gamma - H_{yy} - (H_{1} + H_{x})(\gamma + 1)] = 0;$$
 (13")

Совместное решение уравнений (13') и (13"), которое в общем случае легко выполнить графовналитическим способом, даст оптимальные значения  $H_{\rm x}$  и  $H_{\rm 1}$ .

В частном случае при т = 1.0 из (13') и (13") получаем:

$$H_{\rm s} = \frac{a H_{\rm sq} - 2 Q_{\rm H}}{3a} \tag{14}$$

$$H_1 = \frac{\alpha H_{Y^0} + Q_0}{3} \tag{15}$$

Аналогичным образом можно поступить в случае трех и более ступеней.

При трех ступенях использования в частном случае когда  $\gamma = 1.0$  получаем:

$$H_8 = \frac{\alpha \cdot H_{eq} - 3 Q_0}{4 \alpha}$$
(16)

Для характерного случая прямолинейной наворной характеристики (т 1,0), из трех случаев — одноступенчатого, двухступенчатого и грехступенчатого использования, на основании (12), (14) и (16) можно вывести общую формулу для определения И, при и — ступенчатом варианте, а именно:

$$H_{xn} = \frac{x H_x - n Q_0}{(n+1) \cdot x} \tag{17}$$

или, подставляя значение  $\alpha=\frac{Q-Q}{H_{c}}$  (где Q= средний используемый

расход в конце рассмагринаемого участка), будем иметь:

$$H_{\lambda,n} = \frac{H_{yn}}{n} = \frac{Q_{\kappa} - (n+1) Q_{n}}{Q_{\kappa} - Q_{n}}.$$
 (17)

При расчете необходимо проверить знак  $H_x$ . Последний будет положительным, если  $Q_x = (n+1) Q_u$ . Отрицательный знак при  $H_x$  означает, что в данном случае полное использование падения участка дает

нанбольший энергетический эффект, и необходимость в учете  $\mathcal{H}_{x}$  отпадает.

Из ф-л (17) и (17) можно сделать вывод, что оптимальное значение  $H_{\rm x}$  тем больше, чем больше коэффициент нарастания расхолов и надение участка  $H_{\rm yq}$  и чем меньше число ступеней n.

Для сравнения получаемых энергетических эффектов при разбивке участка реки на различное число ступней и при полном и неполном (с учетом  $H_x$ ) использовании падения, определим среднеголовую мощность каскада ГЭС при прямолинейной напорной характеристике.

При полном использовании всего падения участка в одной сту-

$$N_1 = 9.81 \ r_{\rm ir} \cdot Q_{\rm ir} \cdot H_{\rm yrr};$$

или подставляя значение Q<sub>n</sub> = Q<sub>n</sub> = 2 M<sub>n</sub> =

$$N_1 = 9.81 \cdot r_{\rm tr} \cdot H_{\rm yet}(Q_{\rm b} - \alpha H_{\rm yet}).$$

При двух ступенях

$$\sum_{i}^{2} N_{i} = 9.81 \cdot \eta_{i} \left[ \frac{H_{y_{i}}}{2} Q_{i} + \frac{H_{y_{i}}}{2} \left( Q_{i} + \alpha \cdot \frac{H_{y_{i}}}{2} \right) \cdot \right] = 9.81 \cdot \eta_{i} \cdot \frac{H_{y_{i}}}{4} (3Q_{i} + Q_{i})$$

$$\sum_{i=1}^{2} N_{i} = 9.81 \cdot \eta_{i} \cdot \frac{H_{i}}{2} \cdot \left(2 \cdot Q_{i} - \frac{3}{2} \cdot \alpha \cdot H_{y_{i}}\right).$$

При трех ступенях

$$\sum_{i=1}^{3} N_{i} = 9.81 \cdot r_{ir} \cdot \frac{1}{3} \cdot H_{y\pi} \cdot (Q_{h} + 2 Q_{H});$$

пан

$$\sum_{i=1}^{3} N_{i} = 9.81 \ \gamma_{ir} \cdot \frac{1}{5} \cdot H_{yq} (3 \ Q_{g} - 2 \alpha \cdot H_{yq}).$$

При и ступениях

$$\sum_{i=1}^{n} N_{i} = 9,81 \cdot \eta_{c} \cdot \frac{1}{n} \cdot H_{Y^{q}} \left( \frac{n+1}{2} Q_{u} + \frac{n-1}{2} Q_{u} \right); \tag{18}$$

или

$$\sum_{i=1}^{n} \Lambda'_{i} = 9.81 \cdot \gamma_{i} \cdot \frac{1}{\pi} \cdot H_{yq} \left( n \cdot Q_{n} - \frac{n-1}{2} \cdot H_{re} \right). \tag{18}$$

При учете  $H_x$ , при одной ступени

$$N_1 = 9.81 \cdot \eta_1 \cdot (H_{y_1} - H_{x_1}) (Q_0 + \alpha H_{x_1}) = 9.81 \cdot \eta_1 \cdot \frac{1}{4\pi} Q_1$$

(здесь учтено значение  $H_{\rm x}$  на (12) и  $Q_{\rm u} = Q_{\rm k} - \alpha H_{\rm yq}$ , поэтому имеет место при  $\alpha$   $H_{\rm yq} > Q_{\rm u}$ ).

При двух ступенях: 
$$\frac{2}{1}N = 9.81 \cdot \tau_{\rm ir} \cdot \frac{1}{3\alpha}$$
 От при трех ступенях:  $\frac{3}{1}N_1 = 9.81 \cdot \tau_{\rm ir} \cdot \frac{1}{\alpha} \cdot \frac{3}{8} \cdot Q_s$ . При  $n$  ступенях:  $\frac{n}{2}N_1' = 9.81 \cdot \frac{1}{\alpha} \cdot \frac{n}{2(n+1)}$  От (19)

Ур-ние (19) действительно при  $Q_{\kappa} > (n+1) Q_{m}$ 

Суммарная среднегодовая мощность (или годовая выработка эпертия) всех ГЭС каскада, при разбивке участка реки вышензложенным методом, при одинаковых исходных данных, (напор на участке, вид напорной характеристики, число ступеней) получается больше, чем при разбивке по методам, предложенным в работах [3, 4] и конкретных схемах [5]. Так, например, при прямолинейной напорной характеристике, выработка эпергин каскада из 2-х ступеней, при разбивке по предлагаемому методу на 5,5% больше, чем при разбивке по предложенному в литературе [3] методу, а при 3-х ступенях — на 11,5% и т. д. Это увеличение больше при выпуклой папорной характеристике.

Заметим также, что рассчитанные по методам предложенным в литературе [3] и [4], напоры нижних станций получаются значительно больше, чем для верхних (особенно при выпуклой напорной характеристике), что противоречит установленному практикой проектирования целесообразному сочетанию напоров на большинстве горных рек.

Кроме того, предлагаемый метод имеет то преимущество перед указанными выше методами, что может быть использован для составления вариантов схемы использования заданного участка волотока при разном числе ступеней.

Выше изложен энергетический метод разбивки падения реки на ступени. Посколько эпергетические расчеты являются лишь одним из необходимых звеньев эперго-экономического анализа, схемы и основные параметры каскада ГЭС, определенные на основе предлагаемого метода, должны быть пронерены и обоснованы эперго-экономическими расчетами.

Действительно, эпергетические методы не могут дать окончательного ответа на вопрос об оптимальных параметрах установок. Так, например, на изложенного выше анализа и из ф-л (18), (18') и (19) вытекает, что при оптимальной разбивке паления участка реки суммарный эпергетический эффект использования получится тем выше, чем больше число ступеней каскада.

Значит нельзя говорить об определенном оптимальном числе ступеней с чисто энергетической точки эрекия, хотя при применении некоторых других методов [3, 4] получается обратный вывод.

Установление оптимального числа ступеней является энерго-экономической задачей. Но известно, что энерго-экономические расчеты не являются единственным критерием нахождения оптимального вариан а, они служат для выявления энерго-экономической эффективности [1]. По инструкции [2] рекомендуется устанавливать целесообразный вариант схемы использования реки с точки эрения достижения максимального энергетического эффекта на рассматриваемом участке. Следовательно, варианты схем энергоиспользования реки, с различным числом слупеней, составленные на основе предлагаемого энергетического з стеля могут и должны служить основой для варианта технико-экономического анализа.

Оптимальное число ступеней в таком случае можно установить следующим образом. Для различных чисел ступеней производить разбивку по предлагаемому методу, с введением при этом, некоторого корректива, учитывающего местные условия. Затем, определяя энерго-экономические показатели этих вариантов, выбрать вариант, обеспечивающий минимум издержек в системе ( $U_c$  — минимум). Если река по гидрологическому признаку разбита на несколько участков, то необходимо произвести выбор из разных комбинаций чисел ступеней на этих участках.

Обычно в суммарных издержках в системе, учитываются как издержки на самой ГЭС, так и по обеспечению регулирующей энергии, 
необходимой для покрытия графика энерго-потребления. Последняя 
замениет недоданную энергию, за счет неполного использования расчетных параметров ГЭС. По так как с увеличением числа ступеней 
каскада увеличивается суммарная выработка энергии и уменьшается 
величина неиспользуемой части энергии волотока, и наоборот, при 
малом числе ступеней размер неиспользуемой энергии за счет местной приточности увеличивается, то для оценки последней правильнее 
было бы считать ее как недоданную энергию и оценить ее также, как 
оценивается заменяющая энергия. Тогда принцип минимума издержек 
в системе выразится формулой:

$$U_c = \sum_{i}^{n} I_i + S_{33M} \cdot \sum_{i}^{n} \vartheta_i - S_{33M} \cdot \sum_{i}^{n} \vartheta_i = MRHYMYM$$
 (20)

где: n — число ступеней каскада,

 — годовые издержки і-ой ступени (с учетом тяжести капиталовложений),

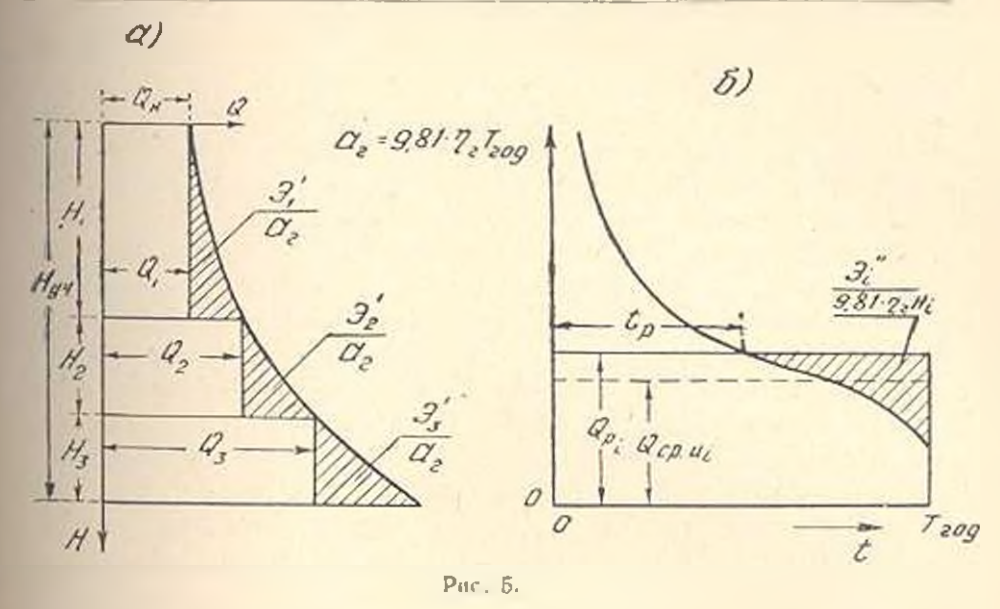
Э, — неиспользованияя энергия реки на г-ой ступени (рис. 5а).

 $S_{\mathtt{зам}}$  стоимость заменяющей энергии качества  $\mathcal{J}_i$  ,

Э.— педоданная энергия гой ступени (необходимая регулирующая энергия) (рис. 56),

S<sub>зам</sub> — стоимость заменяющей — регулирующей эпергии.

Таким образом, можно задан число ступеней  $n_i$  определить соответствующие издержки  $U_c$  и по (20) выбрать оптимальный вариант. В слу-



чае учета  $H_{\mathbf{z}}$  следует соответствующую неиспользуемую часть эпергии также считать недоданной, при чем того же качества, что и энергия Э...

### Выводы

1. Для энерго-экономического анализа вариантов разбивки падения горной реки на ступени каскада деривационных ГЭС с целью учета энергетических возможностей водотока необходимо составить варианты, отвечающие максимальному энергетическому эффекту (выработка энергии) на каскаде в целом.

При такой разбивке отношение напора каждой ГЭС к общему падению на рассматриваемом участке, зависит от формы напорной характеристики. Оптимальное отношение напоров ступеней для задашного числа ступеней и заданной напорной характеристики можно определить при помощи приведенных в настоящей работе ф-л или таблиц.

- 2. В схеме каскада из деринационных ГЭС возможен случай. вогда путем отбрасывания некоторой верхней части заданного участка реки и правильной разбинки остальной части, при одном и том же числе ступеней можно получить больший энергетический эффект, чем при использовании всего падения участка. Озгимальная высота отбрасиваемой части зависит от параметров напорной характеристики и заданного числа ступеней и определяется аналитическим методом, изложенным в работе.
- 3. Предлагаемый энергетический метод, в отличие от торых существующих методов, исходит из суммарного энергетического эффекта всех ГЭС каскада, на рассматриваемом участке реки при различных числах ступсией каскада. Это дает возможность, при разбивки реки на ступени, болсе правильно оценивать се энер-

гетические возможности и нарьировать числом ступеней, при составдении нариантов разбивки.

4. Разработанные в настоящей работе методы определения оптимальных напоров деривационных ГЭС могут быть применены для составления рациональных схем использования малых и среднях горных рек на предварительной стадии проектирования.

В дальнейших стадиях проектирования такие схемы, составленные для разничных чисел ступеней, могут служить в качестве одного из целесообразных вариантов для технико-экономического анализа.

5. Для учета неиспользуемой, вследствие ограниченности числа ступеней, потерянной энергии водотока (энергия за счет приточностей между двумя деривационными ГЭС) предлагается оценивать последнюю по стоимости заменяющей энергии в системе и в расчеты включить ее и состав общих издержек для данного варианга.

Водно-впергетический институт

Поступило 8 XII 1956

АН Армянской ССР

#### վ. Ա. ՉԻԼԻՆՊԱՐՈԱՆ

ԼԵՌՆԱՅԻՆ ԳԵՏԵՐԸ ԳԵՐԻՎԱՑԻՆ ՀԻԳԻԴԼԵԿՏՐԱԿԱՅԱՆՆԵՐԻ ԳԱՍՀԱԿՈՐԾ ՎՑՐԱԵ ՎՈԼԵՄԱԵԱԳ ՎԴԵՄՆԱԾՎՉԱԱ ՎՐԱԽՄԱԵ

## U. d din that d

Հոգվածում արվում է լեռնային գետերը չկանոնավորված դերիվացիոն չիդրոկայանների կասկացի առախմաների բաժանման մենքող, ելնելով Լներգնաիկական նպատակաշարմարությունից։

Ի տարրևրու իյուն գրականության մեջ նայանի նման մեթեղջների 3, մի, որոնը նլնում են առանձին դիտարկվող չիգրոկայանների մաջակմում էներգետիկական էկեկտից (նկ. 16,8), շողվածում արվում է աստիճանների այնպիսի բաժանման հետո որը եքնում է դևտի դիտարկվող տեղանասի վրա նախագծվող չիդրոկայանների կասկայն գումարային մաջսիմում էներդիականան է հետոի (տարեկան էներդիայի մաջորմում արտադրանը), — ամյալ ապանովվածություն նաչվարկային ելբերի և դանկացած թիմով տուրելում, ընտրուն և դանկացած

Մ դրի մանեմատիկական լուծման ծամար հարմար է օգավել օգտագործվող միջին ելբերի (րանաձև 1) և դետի դիտարկվող տեղամասի անկան րարձրուն կան կապի կորից (րանաձև 3, նկ. 2, 3), Այդ կորով և կոօրդնատների առանցիներով ռահմանափակված մակերեսը ըստ մասջապրի համարժեր և դետի հզորուն յանը (տարեկան է և իրդիային) ըստ օգտադորժվող միջին ելթերի։ Ուստի այդ կորին ներդծված բաղմաստիճան մակերեսը (նկ. 3-ում դծևրով ծածկված), որի աստիձանների չափերը համապատասխանում են կասկայի աստիձանների րարձրունյուններին և օգտագործվող միջին և կասկայի աստիձանների րարձրունյուններին և օգտագործվող միջին և կասկայի հորունյաների դումարունին միրդունարին միրդունից նաև հանաարկեն Հիրակայանների դումարույնի մանեմատիկական արտահայանին միրդունից (օր., թանաձև 5, 8), չնարավոր կասկադի ցանկացած որոշակի նվով աստիձաննների համար որոշել դետի դիտարկվող անկացած որոշակի նվով աստիձաննների համան որոշել դետի դիտարկվող ան

դամասի անկման այնպիսի բաժանում (աստիճանների միջև), որի դեպքում ձիդրոկայանների գումարային տարհկան Էներդիան լինի մարսիմում։ Այդ լուծումը կարերի է կատարել ինչպես գետի դիտարկվող տեղամասի ամրողջ անկումը օգտադործելով (ինչպես ցույց է տված նկ. 3-ում), այնպես էլ այդ անկման վերին որոշ մասը (նկ. 4) հաշվի չասնելով (որի չափը որոչվում է նույն պայմանից)։

Լումումը դույց է տայիս, որ նչված կորի (բանաձև 3) ուղղագիծ լինելու դեպքում (նկ. 28, 38) կասկայի ամբողծ նապորը (տեղամասի անկումը) առանձին հիղըոկայունների միծև բաժանվում է հավասար մասերի, լոգավոր լինելու դեպքում (նկ. 23, 33,6) վերևի հիղըոկայանների նապորը ավելի մեծ է ներքեիններից, ուռուցիկ լինելու դեպքում (նկ. 26), բեղջակառակը (տես աղյուսակ XX 1,2,3)։

Հողվածում նչված դետերի Էներգետիկական օգտադործման առաջարկվող մեներդով կազմված սխեմաները կարող են հիմը հանդիսանալ Էներդոանտնսական վերլուծման մեծ, վերջնական նպատական արմար վարիանաի
բնարության համար։ Հոդվածում արվում է այդ վերլուծման եղանակը,
որը հիտված է Էներդեաիկական սիստեմում մինիմում չահագործման ծախսեր (հաչված և կապիտալ ներգրման ծանրությունը) ունենալու հանրահայտ սկզրունքի վրա [1, 2] Այդ ոկզրունքը առաջարկվում է արտաճայանը
(20) բանաձևով, որտեղ բացի կասկայի հիդրոկայանների և Էներգետիկական սիստեմ ի ծախսերից (բանաձև (20)-ի ած մասի 1-ին և 3-րդ անդամեները
նկ.մն), հաշվի է առնվում նաև գետի չօգտագործվող հղորության (էներգիայի)
փոխարինման ծախսերից ((20) բանաձևի ած մասի 2-րդ անդամը, նկ. 32),
որն արվում է տարրեր վարիանաները մի ընդհանուր էներդետիկական
էներտի ընդելու համար։

Առաջարկվող մեթթոցը կարևլի է կիրառել լեռնային՝ դետևրի Էներդետիկական օգտագործման սխեմաների նախնական նախագծման հաչվարկներում։

#### ЛИТЕРАТУРА

- 1. Инструкция ВНИИГ. Энергетические расчеты ГЭС. 1945.
- 2. Инструкция по составлению ТЭД ГЭС. Гидроэнергопроект 1945.
- Сейфулла П. О. Аналія энергетического процесса гидроэлектрических станций по особым режимным точкам их характеристик. "Гидротехническое строительство", 28 8, 1950.
- Семенов В. В. Гидроэнертетические основы расчета схемы каскада ГЭС. Труды МЭЙ, выпуск XII, 1952.
- Схема энергонопользовання малых рек Армянской ССР для электрификации селиского хозяйства. ВЭНИ АН Армянской ССР, т. 1—XIV, 1949 г. (машинопись).